

บทที่ 2

ทฤษฎีและแนวคิด

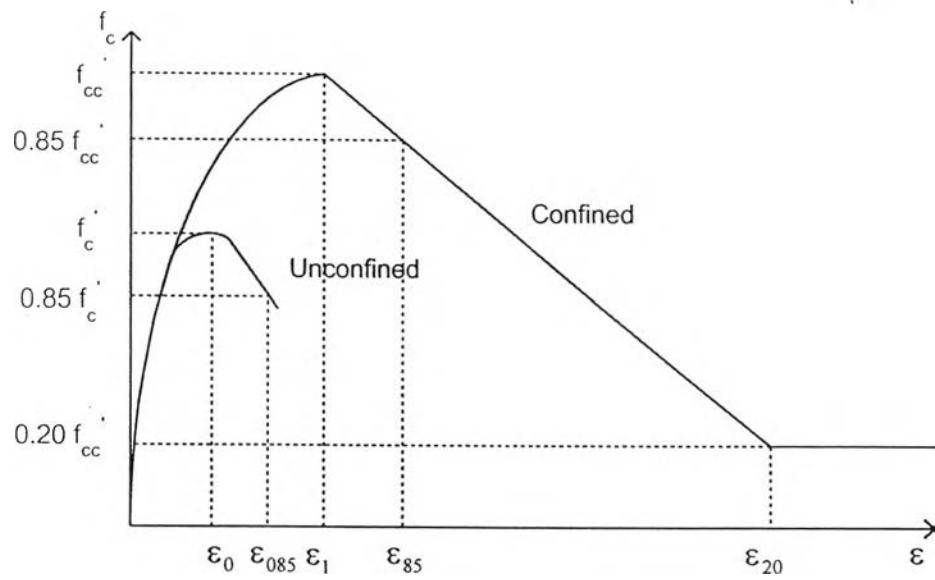
ความนำ

ในงานวิจัยนี้ได้เสนอวิธีการวิเคราะห์โครงข้อแข็งคอนกรีตเสริมเหล็ก เพื่อดำหนดความสามารถในการรับน้ำหนักบรรทุกสูงสุดของโครงข้อแข็งในระนาบที่ทราบขนาดของหน้าตัด และปริมาณเหล็กเสริมโดยได้แบ่งการวิเคราะห์ออกเป็น 3 ขั้นตอนหลัก

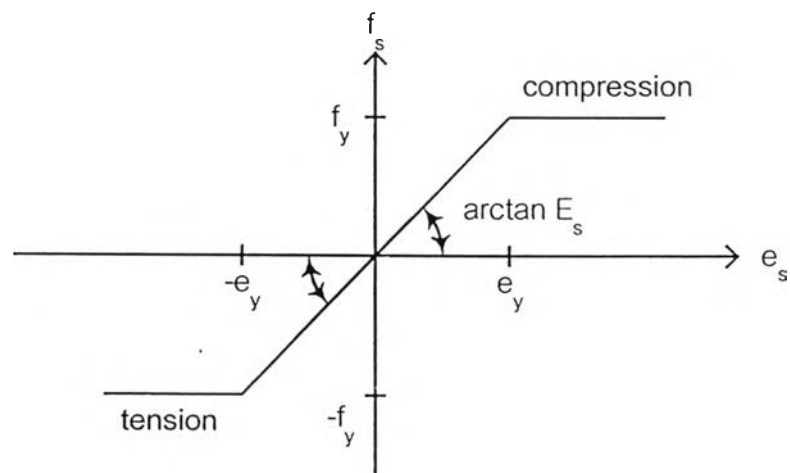
- การวิเคราะห์ฮิสตริกอันดับที่สอง เพื่อพิจารณาถึงความไม่เชิงเส้นทางเรขาคณิต
- การวิเคราะห์หน้าตัดเพื่อพิจารณาถึงผลของความสัมพันธ์ระหว่างหน่วยแรงและความเครียดของวัสดุที่ไม่คงที่หรือเรียกว่าความไม่เชิงเส้นทางวัสดุ
- ปรับแก้ค่าสติเฟนสของโครงสร้างอันเนื่องมาจากผลของการแตกร้าวของคอนกรีต แล้วนำค่าไปวิเคราะห์โครงสร้างในรอบการคำนวณต่อไป (ในงานวิจัยเรียกวิธีนี้ว่าการวิเคราะห์ฮิสตริก)

สมมติฐานที่ใช้

1. ความสัมพันธ์ระหว่างหน่วยแรงอัดและความเครียดของคอนกรีต ดังแสดงในรูปที่ 2.1 โดยที่ค่าโมดูลัสยืดหยุ่นคอนกรีต เนื่องจากหน่วยแรงดึงเท่ากับหน่วยแรงอัด (Saatcioglu, M., Salamat, A.S., and Razvi, S.R. , 1995)
2. ความสัมพันธ์ระหว่างหน่วยแรงและความเครียดของเหล็กเป็นแบบฮิสตริก-พลาสติก โดยสมบูรณ์ (Elastic - Perfectly Plastic) ดังแสดงในรูปที่ 2.2
3. ความเครียดมีค่าเป็นสัดส่วนโดยตรงกับระยะจากแนวแกนสะเทิน นั่นคือระนาบของหน้าตัดชิ้นส่วนจะยังคงเป็นระนาบและตั้งฉากกับแนวแกนของชิ้นส่วนทั้งก่อนและหลังการแตกร้าว
4. คำนึงถึงผลของการแตกร้าว เมื่อโมเมนต์ดัดเกินกว่าโมเมนต์การแตกร้าว กำหนดให้ตรรกะของการตัดเป็นแบบพาราโบลา ดังแสดงในรูปที่ ก.1



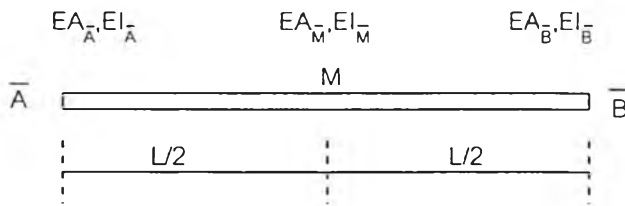
รูปที่ 2.1 ความสัมพันธ์ระหว่างหน่วยแรงและความเครียดของคอนกรีต



รูปที่ 2.2 ความสัมพันธ์ระหว่างหน่วยแรงและความเครียดของเหล็กเสริม

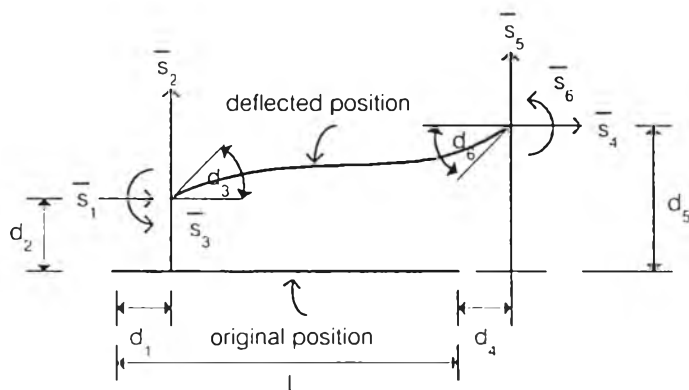
สถิติเเนงขององค์อาคารในกรณีที่องค์อาคารมีพฤติกรรมแบบอิลาสติก

พิจารณาชิ้นส่วนโครงสร้างที่มีพื้นที่หน้าตัด ณ ตำแหน่งข้อต่อ \bar{A} , \bar{B} และที่กึ่งกลาง ความยาวของชิ้นส่วนเท่ากับ $A_{\bar{A}}$, $A_{\bar{B}}$ และ $A_{\bar{M}}$ ตามลำดับ โมเมนต์ความเฉื่อย ณ ตำแหน่ง ข้อต่อ \bar{A} , \bar{B} และ ที่กึ่งกลางความยาวของชิ้นส่วนเท่ากับ $I_{\bar{A}}$, $I_{\bar{B}}$ และ $I_{\bar{M}}$ ตามลำดับ และ ความยาว L ดังรูปที่ 2.3



รูปที่ 2.3 คุณสมบัติขององค์อาคาร

สมการไฟไนต์เอลิเมนต์สำหรับองค์อาคารที่มีแรงกระทำที่ปลาย \bar{S}_1 ถึง \bar{S}_6 และ d_1 ถึง d_6 เป็นค่าการกระจัดที่สอดคล้องกับแรงกระทำที่ปลาย \bar{S}_1 ถึง \bar{S}_6 ตามลำดับ ดังรูปที่ 2.4 และมีคุณสมบัติตามที่กำหนดข้างต้น สามารถเริ่มต้นจากสมการพลังงานศักย์รวม (Total Potential Energy , π) ดังนี้



รูปที่ 2.4 องค์อาคารภายใต้แรงกระทำและการกระจัด (Chen and Lui ,1991)

$$\pi = U + V \quad (2.1)$$

เมื่อ U เป็นพลังงานความเครียด (Strain Energy)

$$\text{ดังนั้น} \quad U = \int_{V_c} \int \sigma d\varepsilon dV_c = \int_0^L \int \int (\sigma d\varepsilon) dA dx \quad (2.2)$$

โดยที่ σ = ความเค้นในแนวแกน

ε = ความเครียดในแนวแกน

V_c = ปริมาตรขององค์อาคาร

A = พื้นที่หน้าตัด

L = ความยาว

ขณะที่ V คือ พลังงานศักย์ (Potential Energy)

$$\text{ดังนั้น} \quad V = - \sum_{i=1}^6 \bar{S}_i d_i = -[d]\{\bar{S}\} \quad (2.3)$$

โดยที่ \bar{S}_i = แรงกระทำที่ปลาย

d_i = การกระจัดที่ปลาย

$$\text{จากกฎของฮุก (Hooke 's Law) : } \sigma = E\varepsilon \quad (2.4)$$

เมื่อ E เป็นโมดูลัสยืดหยุ่น

แทน (2.4) ลงไปใน (2.2) และอินทิเกรต จะได้

$$U = \frac{E}{2} \int_0^L \int \varepsilon^2 dA dx \quad (2.5)$$

ในการวิเคราะห์ความไม่เชิงเส้นทางเรขาคณิต สามารถเขียนความสัมพันธ์ของความเครียดและการกระจัด (Strain - Displacement Relationship) ได้ดังนี้

$$\varepsilon = \frac{du}{dx} + \frac{1}{2} \left(\frac{du}{dx} \right)^2 + \frac{1}{2} \left(\frac{dv}{dx} \right)^2 - y \frac{d^2 v}{dx^2} \quad (2.6)$$

โดยที่ u และ v คือ การกระจัดในแนวแกนและด้านข้างขององค์อาคารตามลำดับ

สามพจน์แรกของสมการ (2.6) สอดคล้องกับเทนเซอร์ความเครียดของกรีน (Green's strain tensor) และพจน์สุดท้าย คือความเครียดในแนวแกนเนื่องจากการดัด

เนื่องจากการกระจัดในแนวแกนมีค่าน้อย ดังนั้นจึงสามารถละทิ้งพจน์ที่สองได้ และสามารถเขียนความสัมพันธ์ใหม่ได้ดังนี้

$$\varepsilon \equiv \frac{du}{dx} + \frac{1}{2} \left(\frac{dv}{dx} \right)^2 - y \frac{d^2v}{dx^2} \quad (2.7)$$

แทน (2.7) ลงใน (2.5) และอินทิเกรตพื้นที่หน้าตัด แล้วจะได้

$$U = \frac{E}{2} \int_0^L \left[A_c \left(\frac{du}{dx} \right)^2 + I(x) \left(\frac{d^2v}{dx^2} \right)^2 + A_c \frac{du}{dx} \left(\frac{dv}{dx} \right)^2 + \frac{A_c}{4} \left(\frac{dv}{dx} \right)^4 \right] dx \quad (2.8)$$

โดยที่

$$\begin{aligned} I(x) &= \int_A y^2 dA \\ A_c &= \int_A dA = \frac{1}{6} [A_{\bar{A}} + 4A_{\bar{M}} + A_{\bar{B}}] \\ \int_A y dA &= 0 \end{aligned}$$

เมื่อพิจารณาปัญหาที่การกระจัดมีค่าน้อย (Small Displacement) เมื่อเทียบกับขนาดของโครงสร้าง ดังนั้นพจน์สุดท้ายของสมการ(2.8) ซึ่งมีค่าน้อยจึงสามารถละทิ้งได้ และกำหนดให้

$$P = EA_c \frac{du}{dx} \quad (2.9)$$

ดังนั้นสมการ(2.8) สามารถเขียนใหม่ได้เป็น

$$U = \frac{E}{2} \int_0^L \left[A_c \left(\frac{du}{dx} \right)^2 + I(x) \left(\frac{d^2v}{dx^2} \right)^2 \right] dx + \frac{1}{2} \int_0^L P \left(\frac{dv}{dx} \right)^2 dx \quad (2.10)$$

เพื่อที่จะสามารถสร้างเมทริกซ์สติเฟเนสได้ จำเป็นต้องทำการสมมุติลักษณะการกระจายของค่าการกระจัด u และ v ก่อนดังนี้

$$u = a_0 + a_1 x \quad (2.11)$$

$$v = b_0 + b_1 x + b_2 x^2 + b_3 x^3 \quad (2.12)$$

จากเงื่อนไขที่จุดต่อคือ

$$u|_{x=0} = d_1, \quad u|_{x=L} = d_4 \quad (2.13)$$

$$v|_{x=0} = d_2, \quad \left. \frac{dv}{dx} \right|_{x=0} = d_3, \quad v|_{x=L} = d_5, \quad \left. \frac{dv}{dx} \right|_{x=L} = d_6 \quad (2.14)$$

จากนั้นจึงสามารถเขียนสมการลักษณะการกระจายของค่าการกระจัด u และ v ให้อยู่ในรูปแบบของตัวไม่รู้ค่าที่จุดต่อได้ดังนี้

$$u(x) = \begin{bmatrix} 1 - \frac{x}{L} & \frac{x}{L} \end{bmatrix} \begin{Bmatrix} d_1 \\ d_4 \end{Bmatrix} \quad (2.15)$$

$$v(x) = \begin{bmatrix} \left(1 - \frac{3x^2}{L^2} + \frac{2x^3}{L^3}\right) & \left(x - \frac{2x^2}{L} + \frac{x^3}{L^2}\right) & \left(\frac{3x^2}{L^2} - \frac{2x^3}{L^3}\right) & \left(-\frac{x^2}{L} + \frac{x^3}{L^2}\right) \end{bmatrix} \begin{Bmatrix} d_2 \\ d_3 \\ d_5 \\ d_6 \end{Bmatrix} \quad (2.16)$$

สามารถเขียนในรูปของสัญลักษณ์เมตริกซ์ได้เป็น

$$u(x) = [N_u] \{d_u\} \quad (2.17)$$

$$v(x) = [N_v] \{d_v\} \quad (2.18)$$

โดยที่ N_u และ N_v แทนฟังก์ชันรูปร่าง (Shape function)

แทนค่า (2.10) และ (2.3) ลงใน (2.1) เราจะได้

$$\pi = \frac{1}{2} \int_0^L \left(\frac{du}{dx} \right) EA_c \left(\frac{du}{dx} \right) dx + \frac{1}{2} \int_0^L \left(\frac{d^2v}{dx^2} \right) EI(x) \left(\frac{d^2v}{dx^2} \right) dx + \frac{1}{2} \int_0^L P \left(\frac{dv}{dx} \right)^2 dx - \sum_{i=1}^6 \bar{S}_i d_i \quad (2.19)$$

โดยที่

$$\begin{aligned}\frac{du}{dx} &= \left[\frac{dN_u}{dx} \right]_{1 \times 4} \{d_u\}_{4 \times 1} = [d_u]_{1 \times 4} \left\{ \frac{dN_u}{dx} \right\}_{4 \times 1} \\ \frac{dv}{dx} &= \left[\frac{dN_v}{dx} \right]_{1 \times 4} \{d_v\}_{4 \times 1} = [d_v]_{1 \times 4} \left\{ \frac{dN_v}{dx} \right\}_{4 \times 1} \\ \frac{d^2v}{dx^2} &= \left[\frac{d^2N_v}{dx^2} \right]_{1 \times 4} \{d_v\}_{4 \times 1} = [d_v]_{1 \times 4} \left\{ \frac{d^2N_v}{dx^2} \right\}_{4 \times 1}\end{aligned}$$

ดังนั้น

$$\begin{aligned}\pi &= \frac{1}{2} \int_0^L [d_u] \left\{ \frac{dN_u}{dx} \right\} EA_c \left[\frac{dN_u}{dx} \right] \{d_u\} dx + \frac{1}{2} \int_0^L [d_v] \left\{ \frac{d^2N_v}{dx^2} \right\} EI(x) \left[\frac{d^2N_v}{dx^2} \right] \{d_v\} dx \\ &+ \frac{1}{2} \int_0^L [d_v] \left\{ \frac{dN_v}{dx} \right\} P \left[\frac{dN_v}{dx} \right] \{d_v\} dx - [d] \{\bar{S}\}\end{aligned}\quad (2.20)$$

จากหลักการของค่าหยุดนิ่งของพลังงานศักย์รวม (Principle of Stationary Total potential Energy) สภาวะสมดุลเกิดจากการแปรเปลี่ยนอันดับแรกของพลังงานศักย์รวม (π) เท่ากับศูนย์

$$\delta\pi = 0 \quad (2.21)$$

นั่นคือ

$$\begin{aligned}& \int_0^L \left\{ \frac{dN_u}{dx} \right\} EA_c \left[\frac{dN_u}{dx} \right] dx \{d_u\} + \int_0^L \left\{ \frac{d^2N_v}{dx^2} \right\} EI(x) \left[\frac{d^2N_v}{dx^2} \right] dx \{d_v\} \\ &+ \int_0^L \left\{ \frac{dN_v}{dx} \right\} P \left[\frac{dN_v}{dx} \right] dx \{d_v\} - \{\bar{S}\} = 0\end{aligned}\quad (2.22)$$

$$([k_m] + [k_G])\{d\} = \{\bar{S}\} \quad (2.23)$$

โดยที่ $[k_m]$ = เมตริกซ์สติฟเนสเชิงเส้นดัดแปร (Modified Linear Stiffness)

$$= [k^a] + [k^b]$$

$$= \int_0^L \left\{ \frac{dN_u}{dx} \right\} EA_c \left[\frac{dN_u}{dx} \right] dx + \int_0^L \left\{ \frac{d^2N_v}{dx^2} \right\} EI(x) \left[\frac{d^2N_v}{dx^2} \right] dx \quad (2.24)$$

สามารถเขียนเมตริกซ์สติเฟเนสเชิงเส้นดัดแปรที่สัมพันธ์กับการกระจายที่ปลาย

$$\{d\} = [d_1 \ d_2 \ d_3 \ d_4 \ d_5 \ d_6]^T \quad \text{ดังนี้}$$

$$[k_m] = \begin{bmatrix} a & h & h & -a & h & h \\ & b & c & h & -b & e \\ & & d & h & -c & f \\ & & & a & h & h \\ \text{SYM.} & & & & b & -e \\ & & & & & g \end{bmatrix} \quad (2.25)$$

ค่าคงที่ a, b, c, d, e, f, g และ h สำหรับองค์อาคารมีค่าดังนี้

$$\begin{aligned} a &= EA_c / L \\ b &= (12A_1 / L^3 + 6A_2 / L^2 + 24A_3 / 5L) \\ c &= (6A_1 / L^2 + 2A_2 / L + 7A_3 / 5) \\ d &= (4A_1 / L + A_2 + 8A_3 L / 15) \\ e &= (6A_1 / L^2 + 4A_2 / L + 17A_3 / 5) \\ f &= (2A_1 / L + A_2 + 13A_3 L / 15) \\ g &= (4A_1 / L + 3A_2 + 38A_3 L / 15) \\ h &= 0 \end{aligned} \quad (2.26)$$

โดยที่

E = โมดูลัสยืดหยุ่น

I = โมเมนต์ความเฉื่อย

L = ความยาวขององค์อาคาร

$A_c = \frac{1}{6} [A_{\bar{A}} + 4A_{\bar{M}} + A_{\bar{B}}]$ คือ พื้นที่หน้าตัดประสิทธิผล (Effective Area)

$A_1 = EI_{\bar{A}}$

$A_2 = (E/L) [-3I_{\bar{A}} + 4I_{\bar{M}} - I_{\bar{B}}]$

$A_3 = (2E/L^2) [I_{\bar{A}} - 2I_{\bar{M}} + I_{\bar{B}}]$

$$\begin{aligned}
 [k_G] &= \text{เมตริกซ์สติฟเนสไม่เชิงเส้นทางเรขาคณิต (Geometric Stiffness Matrix)} \\
 &= \int_0^L \left\{ \frac{dN_v}{dx} \right\} P \left[\frac{dN_v}{dx} \right] dx
 \end{aligned} \tag{2.27}$$

สามารถเขียนเมตริกซ์สติฟเนสไม่เชิงเส้นทางเรขาคณิต ที่สัมพันธ์กับการกระจัดที่ปลาย

$$\{d\} = [d_1 \quad d_2 \quad d_3 \quad d_4 \quad d_5 \quad d_6]^T \text{ ดังนี้}$$

$$[k_G] = \frac{P}{30L} \begin{bmatrix} 0 & 0 & 0 & 0 & 0 & 0 \\ & 36 & 3L & 0 & -36 & 3L \\ & & 4L^2 & 0 & -3L & -L^2 \\ & & & 0 & 0 & 0 \\ \text{SYM.} & & & & 36 & -3L \\ & & & & & 4L^2 \end{bmatrix} \tag{2.28}$$

P เป็น + เมื่อเป็นแรงดึง (Tensile axial force)

รายละเอียดของการหาความสัมพันธ์ตามสมการ (2.28) แสดงในภาคผนวก ก

เพราะฉะนั้นเมตริกซ์สติฟเนสขององค์อาคาร เมื่อรวมผลของสติฟเนสเชิงเส้นดัดแปรเข้ากับเมตริกซ์สติฟเนสไม่เชิงเส้นทางเรขาคณิต เราจะได้

$$[k(d)] = [k_m] + [k_G] \tag{2.29}$$

โดยสามารถเขียนเมตริกซ์สติฟเนสขององค์อาคารที่สัมพันธ์กับการกระจัดที่ปลาย

$$\{d\} = [d_1 \quad d_2 \quad d_3 \quad d_4 \quad d_5 \quad d_6]^T \text{ ได้ดังนี้}$$

$$[k(d)]\{d\} = \{\bar{S}\} \tag{2.30}$$

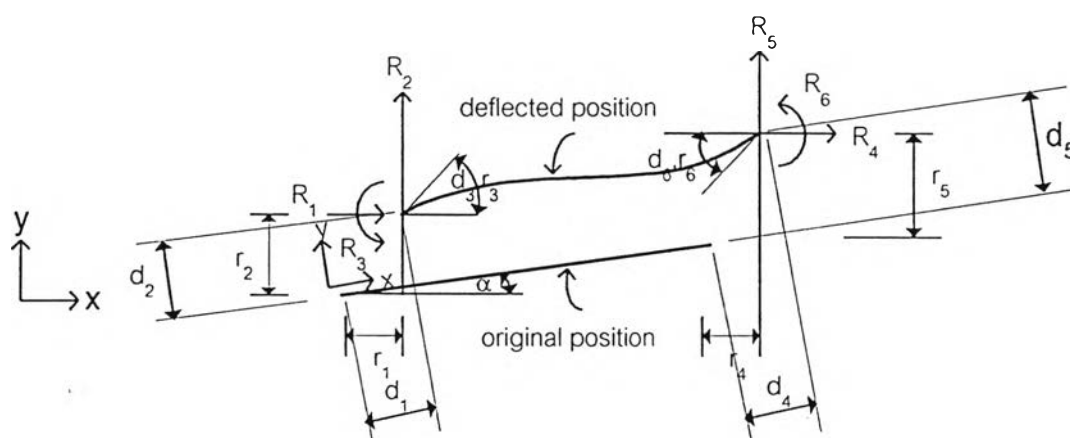
เมื่อ $[k(d)]$ เป็นเมตริกซ์สติฟเนสขององค์อาคาร

$\{d\}$ เป็นเวกเตอร์ของการกระจัด

$\{\bar{S}\}$ เป็นเวกเตอร์ของแรงกระทำ

การรวมสติฟเนส

ในกรณีที่องค์อาคารไม่ได้วางอยู่ในแกนราบหรือระบบพิกัดเฉพาะที่(Local Coordinate) ไม่ได้วางแกนอยู่ตรงกับแกนของระบบพิกัดวงกว้าง(Global Coordinate) จำเป็นต้องมีการหมุนเพื่อเปลี่ยนการกระจัดและแรงกระทำที่กำหนดอยู่ในระบบพิกัดเฉพาะที่ให้อยู่ในระบบพิกัดวงกว้างก่อน การหมุนพิกัดกระทำได้โดยการพิจารณาองค์อาคาร i อยู่ในระนาบ ดังรูปที่ 2.5



รูปที่ 2.5 องค์อาคารวางในระบบพิกัดในวงกว้าง(Chen and Lui , 1991)

จากรูปพิกัดในวงกว้างเป็น XY และพิกัดประจำตัวเป็น xy ถ้าพิจารณาการกระจัดของจุด A ความสัมพันธ์ของการกระจัดในระบบพิกัดในวงกว้างกับระบบพิกัดเฉพาะที่เป็น

$$\begin{Bmatrix} d_1 \\ d_2 \\ d_3 \end{Bmatrix} = \begin{bmatrix} \cos\alpha & \sin\alpha & 0 \\ -\sin\alpha & \cos\alpha & 0 \\ 0 & 0 & 1 \end{bmatrix} \begin{Bmatrix} r_1 \\ r_2 \\ r_3 \end{Bmatrix} \quad (2.31)$$

เมื่อ

- d_i เป็นเวกเตอร์ของการกระจัดในระบบพิกัดเฉพาะที่
- r_i เป็นเวกเตอร์ของการกระจัดในระบบพิกัดในวงกว้าง
- α เป็นมุมระหว่างแกนแนวราบในระบบพิกัดเฉพาะที่กับแกนแนวราบในระบบพิกัดในวงกว้าง

หรือเขียนในรูปของเมตริกซ์ได้เป็น

$$\{d\} = [a]\{r\} \quad (2.32)$$

สมการ (2.32) เป็นความสัมพันธ์ของการกระจัดในระบบพิกัดเฉพาะที่กับการกระจัดในระบบพิกัดในวงกว้าง ดังนั้นจะหาความสัมพันธ์ของแรงกระทำในระบบพิกัดเฉพาะที่กับแรงกระทำในระบบพิกัดในวงกว้างได้เป็น

$$\{R\} = [a]^T \{S\} \quad (2.33)$$

เมื่อ $\{S\}$ เป็นเวกเตอร์ของแรงในระบบพิกัดเฉพาะที่
 $\{R\}$ เป็นเวกเตอร์ของแรงในระบบพิกัดในวงกว้าง

ดังนั้นจะสามารถหาความสัมพันธ์ของแรงกระทำกับการกระจัดในระบบพิกัดในวงกว้างขององค์อาคาร i ได้เป็น

$$\{R\} = [a]^T [k(d)] [a] \{r\} \quad \text{หรือ} \quad \{R\} = [K_{\text{global}}]^i \{r\} \quad (2.34)$$

เมื่อ $[K_{\text{global}}]^i$ เป็นเมตริกซ์สติเฟเนสขององค์อาคาร i ในระบบพิกัดในวงกว้าง

ถ้าพิจารณาองค์อาคารทั้งหมด n ชิ้นส่วนในโครงสร้างจะได้

$$\{R\} = \left(\sum_{i=1}^n [K_{\text{global}}]^i \right) \{r\}$$

เมื่อให้ $[K] = \left(\sum_{i=1}^n [K_{\text{global}}]^i \right)$ โดยที่ $[K]$ เป็นเมตริกซ์สติเฟเนสของโครงสร้าง

จะได้
$$\{R\} = [K]\{r\} \quad (2.35)$$

เมตริกซ์ $[K]$ ในสมการ (2.35) จะเป็นเมตริกซ์เอกฐาน(Singular Matrix) เนื่องจากมีการเคลื่อนที่แบบวัตถุแข็งเกร็ง(Rigid Body Motion)อยู่ จึงจำเป็นต้องใส่เงื่อนไขขอบเขต(Boundary Conditions) ให้เพียงพอที่จะไม่ให้เกิดการเคลื่อนที่แบบวัตถุแข็ง แล้วจะได้เป็นเมตริกซ์ไม่เอกฐาน(Non-Singular Matrix) ซึ่งสามารถแก้สมการได้โดยการกำจัดแบบเกาส์(Gauss Elimination)

การวิเคราะห์แบบไม่เชิงเส้น(Non-Linear Analysis)

ในการวิเคราะห์ไฟไนต์เอลิเมนต์แบบไม่เชิงเส้น(Non-Linear Finite Element Analysis) จะประยุกต์การเพิ่มน้ำหนักบรรทุกทีละขั้นตอนและแก้ปัญหาความไม่เชิงเส้นโดยใช้ทฤษฎีเชิงเส้น(Linearized Steps)ในแต่ละขั้นตอนนั้นๆ ความสมดุลย์และความสัมพันธ์ทางจลศาสตร์ถูกกำหนดด้วยคุณสมบัติล่าสุดของชิ้นส่วน(Element) เมตริกซ์สติฟเนส(The Stiffness Matrix)ซึ่งเป็นความสัมพันธ์ระหว่างแรงที่เพิ่มทีละขั้น(The Incremental Force) กับการกระจัดที่เพิ่มทีละขั้น(The Incremental Displacement) จะถูกเรียกว่าเมตริกซ์สติฟเนสเพิ่มทีละขั้น(The Incremental Stiffness Matrix)ซึ่งสามารถหาได้ด้วยปฏิบัติการเพิ่มทีละขั้น(Incremental Operator)ที่สมการสมดุลย์(2.35) (Chen and Lui ,1991)

ส่วนการวิเคราะห์ความไม่เป็นเชิงเส้นทางวัสดุอันเนื่องมาจากชิ้นส่วนโครงสร้างเป็นโครงสร้างคอนกรีตเสริมเหล็ก(ซึ่งจะเกิดการแตกร้าวขึ้นเมื่อคอนกรีตรับแรงหรือโมเมนต์เกินกำลังที่จะรับได้)จะประยุกต์ใช้วิธีวิเคราะห์หน้าตัด(Section Analysis) เพื่อหาสภาวะที่แรงและโมเมนต์ที่เท่ากับแรงและโมเมนต์ที่ได้จากการวิเคราะห์ แล้วประยุกต์ใช้วิธีผลต่างสืบเนื่องตรงกลาง(Central Difference)เพื่อหาค่า EA และ EI เนื่องจากความไม่เชิงเส้นทางวัสดุ แล้วนำค่าที่ได้ไปปรับแก้เมตริกซ์สติฟเนสให้มีความถูกต้องตามพฤติกรรมของโครงสร้างต่อไป

วิธีเพิ่มทีละขั้น(Incremental Method)

ในสภาวะสมดุลย์และความสัมพันธ์ทางจลศาสตร์ของโครงสร้างที่ขั้นตอนน้ำหนักบรรทุกกระทำ $i-1$ ($(i-1)$ -th load step) ถูกสมมุติว่ารู้ค่าแล้ว และใช้ค่าเหล่านี้เป็นพื้นฐานในการคำนวณหาสภาวะของโครงสร้างที่ขั้นตอนน้ำหนักบรรทุกกระทำ i (i -th load step) ต่อไป โดยเขียนความสัมพันธ์ของสติฟเนสเพิ่มทีละขั้น (The incremental stiffness) ได้เป็น

$$K_i^{j-1} \Delta r_i^j = \Delta R_i^j + Q_i^j \quad (2.36)$$

โดยที่ K_i^{j-1} คือ เมทริกซ์สติเฟเนสสำหรับขั้นตอนน้ำหนักบรรทุกกระทำ i ที่สร้างขึ้นจากการคำนวณซ้ำที่ $j-1$ ($(j-1)$ -th iteration)

Δr_i^j คือ การกระจัดที่เพิ่มขึ้นทีละขั้น(The incremental displacement)ที่รอบการกระทำซ้ำ j ของขั้นตอนน้ำหนักบรรทุกกระทำ i

ΔR_i^j คือ น้ำหนักบรรทุกที่เพิ่มขึ้นทีละขั้น(The load increment)ที่รอบการกระทำซ้ำ j ของขั้นตอนน้ำหนักบรรทุกกระทำ i

Q_i^j คือ แรงคงค้าง(The unbalance force)ที่รอบการกระทำซ้ำ j ของขั้นตอนน้ำหนักบรรทุกกระทำ i (มีค่าเท่ากับผลต่างระหว่างแรงภายนอกกับแรงภายในของโครงสร้าง)

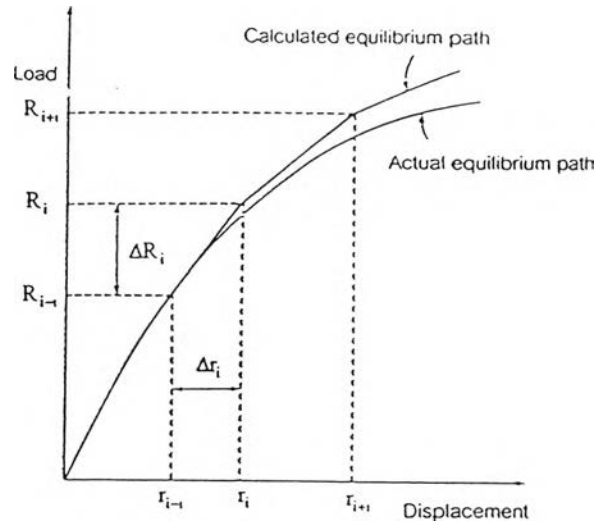
ถ้าการลู่เข้าหาคำตอบที่ต้องการมีการคำนวณทั้งหมด n รอบ ก็จะได้น้ำหนักบรรทุกและการกระจัดสุดท้ายในขั้นตอนน้ำหนักบรรทุกกระทำ i เท่ากับ

$$R_i = R_{i-1} + \sum_{j=1}^n \Delta R_i^j \quad (2.37)$$

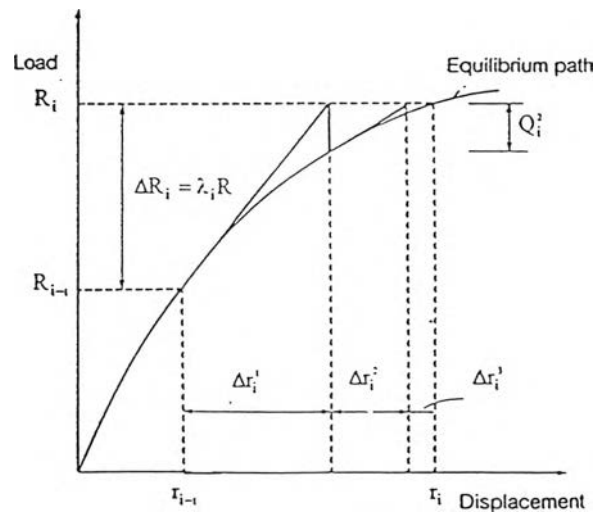
$$r_i = r_{i-1} + \sum_{j=1}^n \Delta r_i^j \quad (2.38)$$

ซึ่งเมทริกซ์สติเฟเนสจะปรับปรุงค่าทุกครั้งก่อนการคำนวณในขั้นตอนน้ำหนักบรรทุกถัดไป

เนื่องจากวิธีการเพิ่มทีละขั้นแบบธรรมดา(Simple incremental method)จะให้ผลการคำนวณผิดพลาดสะสมขึ้นเรื่อยๆเมื่อมีการเพิ่มน้ำหนักบรรทุกขึ้นทีละขั้นๆ ดังแสดงในรูปที่ 2.6 ทั้งนี้เนื่องจากโครงสร้างจะยังคงมีแรงคงค้างเหลืออยู่ทุกครั้งที่มีการเพิ่มน้ำหนักบรรทุกขึ้นทีละขั้น เพื่อที่จะลดความผิดพลาดจากสาเหตุนี้จะต้องทำการกำจัดแรงคงค้างให้เหลืออยู่น้อยที่สุดในระดับที่ยอมรับได้โดยใช้วิธีของนิวตัน-ราฟสัน(Load Control Newton-Raphson method) ดังแสดงในรูปที่ 2.7



รูปที่ 2.6 วิธีเพิ่มทีละขั้นแบบธรรมดา(Simple incremental method)



รูปที่ 2.7 วิธีนิวตัน-ราฟสัน(Load Control Newton-Raphson method)

เมื่อพิจารณาการเพิ่มน้ำหนักบรรทุกทุกขั้นที่ i สำหรับรอบการคำนวณซ้ำรอบแรก ($j=1$)
 ใช้หน่วยแรงคงค้างเป็นศูนย์ สมการ(2.36) เขียนใหม่ได้ดังสมการ(2.39)

$$K_i^0 \Delta r_i^1 = \Delta R_i^1 \tag{2.39}$$

ΔR_i คือน้ำหนักบรรทุกที่เพิ่มละชั้น สามารถเขียนให้อยู่ในรูปแบบน้ำหนักบรรทุกรวมทั้งหมดได้ด้วยการคูณตัวประกอบน้ำหนัก ดังนี้

$$\Delta R_i = \lambda_i R \quad (2.40)$$

ดังนั้นจัดรูปสมการ(2.39) ใหม่ได้ดังสมการ(2.41)

$$K_i^0 \Delta r_i^1 = \lambda_i^1 R \quad (2.41)$$

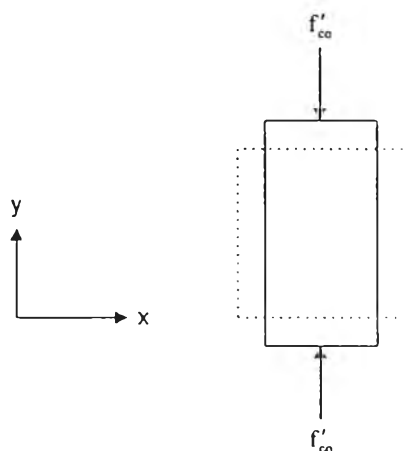
Δr_i^1 สามารถหาได้จากสมการข้างบนแล้วนำไปบวกเพิ่มกับการกระจัดของโครงสร้างที่มีก่อนหน้านี้แล้ว หลังจากนั้นก็สามารถจัดรูปแบบเมตริกซ์สติฟเนสใหม่ให้แก่โครงสร้างจากค่าที่ได้เหล่านี้ เพื่อนำไปใช้ในรอบการคำนวณต่อไป ถ้าใช้วิธีเพิ่มทีละชั้นธรรมดาทีไปคำนวณที่น้ำหนักบรรทุกชั้นตอน $i+1$ ต่อไป แต่ถ้าต้องการความถูกต้องจะต้องกำจัดแรงคงค้างในรอบการคำนวณซ้ำรอบต่อไปอีก ($j>1$) โดยแทนค่าแรงคงค้างที่คำนวณได้ลงในสมการ(2.36) แล้วจะได้สมการใหม่ ดังสมการ(2.42)

$$K_i^{j-1} \Delta r_i^j = Q_i^j \quad (2.42)$$

ทำการแก้สมการหาค่า Δr_i^j ได้จากสมการข้างบน แล้วทำการปรับปรุงเมตริกซ์สติฟเนส แล้วทำขั้นตอนการคำนวณซ้ำรอบต่อไปเรื่อยๆจนกระทั่งค่าแรงคงค้าง Q_i^j มีค่าเข้าใกล้ศูนย์ ดังแสดงในรูปที่ 2.7

การโอบรัดคอนกรีตของเหล็กปลอก

เมื่อมีแรงอัดในแนวแกนกระทำต่อเสาคอนกรีตเสริมเหล็กแล้ว จะทำให้เหล็กปลอกออกแรงดันต้านทานการขยายออกทางด้านข้างของแกนกลางเสาคอนกรีตอันเนื่องมาจากผลของปัวซอง (Poisson's effect) โดยเหล็กปลอกที่มีความแข็งแรงเพียงพอ ก็จะพยายามต้านทานการขยายออกทางด้านข้างนี้ ทำให้เกิดแรงดึงขึ้นในเหล็กปลอก ซึ่งหากมีการบีบรัดคอนกรีตได้อย่างสม่ำเสมอแล้ว จะทำให้ความสามารถในการรับแรงในแนวตั้งมีค่ามากขึ้น โดยความสัมพันธ์ระหว่างกำลังของเสาคอนกรีตที่พิจารณาผลของการโอบรัด (f'_{co}) และแรงดันในการโอบรัดของเหล็กปลอก (f'_l) สามารถหาได้ดังนี้



รูปที่ 2.8 ลักษณะการเปลี่ยนแปลงของคอนกรีตเมื่อรับแรงอัดในแนวแกน

จากรูปที่ 2.8 เมื่อเสาคอนกรีตรับแรงอัดในแนวแกนแล้ว จะทำให้คอนกรีตเกิดการหดตัวในแนวแกน y เท่ากับ ΔY และการขยายตัวในแนวแกน x เท่ากับ ΔX ดังนั้นหน่วยการยืดหดตัวทางด้านข้างของคอนกรีตเนื่องจากแรงอัดในแนวแกน (ϵ_{ul}) ทางเดียว สามารถหาได้ดังนี้

$$\begin{aligned}\epsilon_{ul} &= \left(\frac{\Delta Y}{-\Delta X} \right) \frac{f'_{co}}{E} \\ &= -\mu \frac{f'_{co}}{E}\end{aligned}\quad (2.43)$$

โดยที่ μ = อัตราส่วนปัวซอง (Poisson's ratio)

f'_{co} = กำลังของเสาคอนกรีตเมื่อไม่พิจารณาผลของการโอบรัดของเหล็กปลอก

หากว่าคอนกรีตได้รับแรงอัดทางด้านข้างด้วย ก็จะทำให้การวิบัติอันเกิดจากการขยายตัวทางด้านข้างเกิดขึ้นช้าลงด้วย เนื่องจากจะเกิดการหักล้างกันระหว่างแรงดึงกับแรงอัดทางด้านข้าง ซึ่งการเสริมเหล็กปลอกโอบรัดคอนกรีตก็จะเป็นการเพิ่มแรงอัดทางด้านข้างนั่นเอง

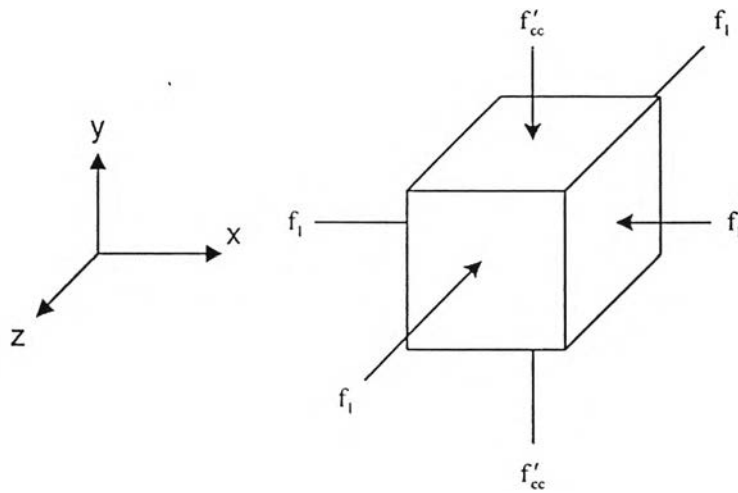
รูปที่ 2.9 แสดงหน่วยแรงที่กระทำแบบสามแกน คือแรงอัดในแนวตั้ง และแรงอัดทางด้านข้างสองแนว จุดที่คอนกรีตเกิดการวิบัติหาได้จากความสัมพันธ์ดังสมการ(2.44)

$$\epsilon_{11} = -\mu \frac{f'_{cc}}{E} - \mu \frac{f_1}{E} + \frac{f_1}{E} \tag{2.44}$$

โดยที่ ϵ_{11} = หน่วยการยืดหดตัวทางด้านข้างเนื่องจากแรงอัดในแนวตั้งโดยมีการโอบรัดด้วย

f_1 = แรงดันเนื่องจากการโอบรัดทางด้านข้าง, กิโลกรัมต่อตารางเซนติเมตร

f'_{cc} = กำลังของเสาคอนกรีตที่พิจารณาผลของการโอบรัด, กิโลกรัมต่อตารางเซนติเมตร



รูปที่ 2.9 หน่วยแรงที่กระทำแบบสามแกน

สมมติว่าการวิบัติเกิดภายใต้แรงอัดในแนวตั้งทางเดียวและแรงอัดในแนวตั้งที่คิดผลของการโอบรัดด้วย จะเกิดขึ้นที่หน่วยการยืดหดตัวทางด้านข้างที่ค่าเดียวกัน, $\epsilon_{11} = \epsilon_{33}$

$$-\mu \frac{f'_{cc}}{E} = -\mu \frac{f'_{cc}}{E} - \mu \frac{f_1}{E} + \frac{f_1}{E} \tag{2.45}$$

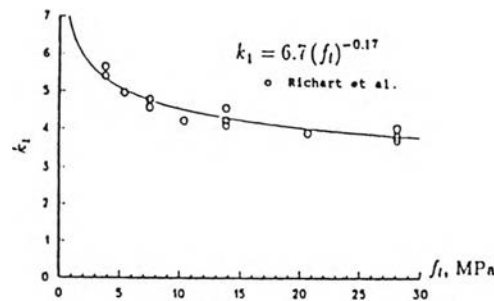
ดังนั้น

$$f'_{cc} = f'_{co} + k_1 f_1 \tag{2.46}$$

$$\text{โดยที่ } k_1 = \frac{(1-\mu)}{\mu} \quad (2.47)$$

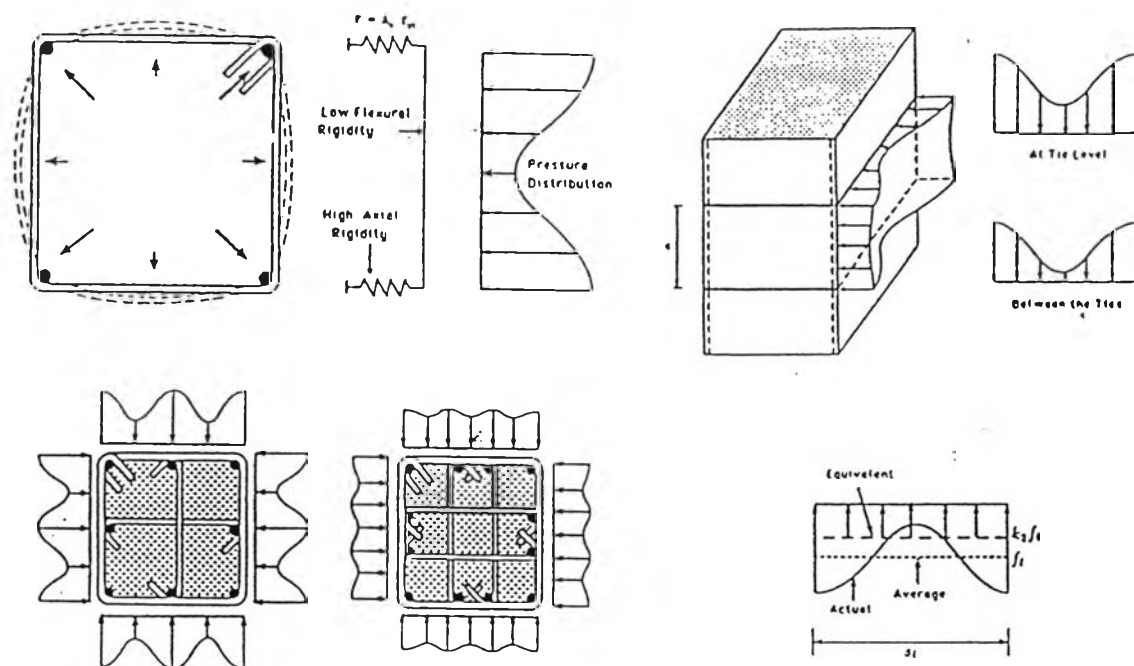
ในส่วนของกำลังของคอนกรีตที่เพิ่มขึ้นเมื่อพิจารณาผลของการโอบรัดนั้น จะมีค่าเพิ่มขึ้นเป็น k_1 เท่าของแรงดันที่เกิดจากการโอบรัดทางด้านข้างเนื่องจากผลของเหล็กปลอก ซึ่งสำหรับคอนกรีตจะมีค่าประมาณ 4 เนื่องจากอัตราส่วนปริมาตรของคอนกรีตมีค่าประมาณ 0.2

Richart และคณะ(1982) ได้ทำการทดสอบเพื่อหาความสัมพันธ์ระหว่างค่าสัมประสิทธิ์ k_1 กับแรงดันด้านข้าง f_1 ได้ผลดังแสดงด้วยกราฟในรูป 2.10 $k_1 = 6.7(f_1)^{-0.17}$ เมื่อ f_1 มีหน่วยเป็น MPa



รูปที่ 2.10 ความสัมพันธ์ระหว่างค่าสัมประสิทธิ์ k_1 กับแรงดันด้านข้าง f_1

ในกรณีของเสาคอนกรีตที่ใช้เหล็กปลอกสี่เหลี่ยมนั้น ค่าแรงดันในการโอบรัดจะมีค่ามากในบริเวณมุมของเหล็กปลอกและบริเวณที่เป็นของอเท้านั้น ในขณะที่แรงดันในการโอบรัดบริเวณส่วนกลางของเหล็กปลอกจะเกิดจากกำลังต้านทานแรงดัดของเหล็กปลอกเองซึ่งจะมีค่าน้อยมาก ดังแสดงในรูป 2.11 เพราะเหล็กปลอกในส่วนนี้วางตัวตั้งฉากกับแนวแรงที่กระทำ ทำให้การโอบรัดของเหล็กปลอกในส่วนนี้ไม่มีประสิทธิภาพเต็มที่ ดังนั้นในเสาคอนกรีตที่ใช้เหล็กปลอกสี่เหลี่ยมจึงมีส่วนของคอนกรีตที่ไม่ได้รับการโอบรัดอย่างเต็มที่อยู่ ซึ่งเกิดเนื่องจากผลของระยะห่างระหว่างเหล็กปลอกและลักษณะของเหล็กปลอก ฉะนั้นจึงต้องทำการคูณสัมประสิทธิ์ เพื่อลดความสามารถในการโอบรัดแกนกลางคอนกรีตของเหล็กปลอก(k_2) และเรียกแรงดันที่ได้ว่าแรงดันด้านข้างเฉลี่ยเทียบเท่าเนื่องจากการโอบรัด กำหนดด้วยสัญลักษณ์ f_{1c}



รูปที่ 2.11 การกระจายแรงดันด้านข้างของเสาที่เหลื่อมจตุรัสเนื่องจากการไอบอร์ด

$$\text{เมื่อ} \quad f_1 = \frac{\sum A_{st} f_y \sin \alpha}{s b_c} \quad (2.48)$$

$$k_2 = 0.26 \sqrt{\left(\frac{b_c}{s}\right) \left(\frac{bc}{s_1}\right) \left(\frac{1}{f_1}\right)} \leq 1.0 \quad ; \quad f_1 \text{ มีหน่วยเป็น MPa} \quad (2.49)$$

$$f_{1c} = k_2 f_1 \quad (2.50)$$

สมการ(2.46) เขียนใหม่ด้วยการแทน f_1 ด้วย f_{1c} ได้ดังสมการ(2.51)

$$f'_{cc} = f'_{co} + k_1 f_{1c} \quad (2.51)$$

ในกรณีที่หน้าตัดเป็นสี่เหลี่ยมผืนผ้า หา f_{1c} ได้ดังนี้

$$f_{1c} = \frac{f_{1cx} b_{cx} + f_{1cy} b_{cy}}{b_{cx} + b_{cy}} \quad (2.52)$$

การวิเคราะห์ความไม่เป็นเชิงเส้นทางวัสดุโดยวิธีวิเคราะห์หน้าตัด

เมื่อเสร็จการวิเคราะห์โครงสร้างในแต่ละรอบของการเพิ่มแรงกระทำ (Load Increment) นำค่าโมเมนต์ดัดและแรงในแนวแกนจากทุกหน้าตัดของชิ้นส่วนโครงสร้างที่แบ่งย่อย (Discretized Element) มาทำการวิเคราะห์ความไม่เป็นเชิงเส้นทางวัสดุ ตามขั้นตอนดังนี้

1. คำนวณค่าความเครียดของแรงภายในบนหน้าตัดโดยลองเพิ่ม ค่าความเครียดที่ผิวบนสุดของหน้าตัดด้านรับแรงอัด (A_u) พร้อมไปกับระยะจากจุดนี้ถึงแกนสะเทิน (kd) ที่ละชั้น เพื่อสมมติการกระจายความเครียดเนื่องจากโมเมนต์ดัดและแรงในแนวแกน จากนั้นหาแรงภายใน ซึ่งเกิดจากการสมมติการกระจายความเครียดในแต่ละชั้น จนแรงภายในของหน้าตัดอยู่ในภาวะสมดุล ซึ่งแรงภายในของหน้าตัดได้แก่

1.1 แรงภายในเนื่องจากคอนกรีต มีสมการดังนี้

$$C = \frac{b.kd}{\epsilon_{ct}} \int f_c . d\epsilon \quad (2.53)$$

โดยที่ b คือ ความกว้างของหน้าตัดสี่เหลี่ยมผืนผ้า

ϵ คือ ความเครียดที่จุดใดใดของหน้าตัด

ความสัมพันธ์ระหว่างหน่วยแรงและความเครียดของคอนกรีตเป็นแบบที่คิดผลของเหล็กปลอกรัศรอบที่โอบรัดคอนกรีตแบบสี่เหลี่ยมผืนผ้า (Rectangular Hoops) ที่เสนอโดย Murat และคณะ โดยมีสมการดังต่อไปนี้

1.1.1 หน่วยแรงและแรงอัดของคอนกรีต

$$\begin{aligned} \text{หน่วยแรงอัด} \quad f_c &= f'_{cc} \left[\frac{2\epsilon}{\epsilon_1} - \left(\frac{\epsilon}{\epsilon_1} \right)^2 \right]^{\left(\frac{1}{(1+2k)} \right)} ; & 0 \leq \epsilon \leq \epsilon_1 \\ f_c &= f'_{cc} [1 + Z_1(\epsilon - \epsilon_1)] ; & \epsilon_1 \leq \epsilon \leq \epsilon_{20} \\ f_c &= 0.20f'_{cc} ; & \epsilon > \epsilon_{20} \\ \text{เมื่อ} \quad f'_{cc} &= f'_{co} + k_1 f_{lc} \\ k_1 &= 9.9424(f_{lc})^{-0.17} \end{aligned} \quad (2.54)$$

$$\begin{aligned}
f_{lc} &= k_2 f_1 && ; \text{สำหรับหน้าตัดสี่เหลี่ยมจัตุรัส} \\
f_{lc} &= \frac{f_{lex} b_{cx} + f_{ley} b_{cy}}{(b_{cx} + b_{cy})} && ; \text{สำหรับหน้าตัดสี่เหลี่ยมผืนผ้า} \\
f_1 &= \frac{\sum A_{st} f_{yt} \sin \alpha}{s b_c} \\
k_2 &= 0.83 \sqrt{\left(\frac{b_c}{s}\right) \left(\frac{b_c}{s_1}\right) \left(\frac{1}{f_1}\right)} \leq 1.0 \\
\varepsilon_1 &= \varepsilon_o (1 + 5K) && ; K = \frac{k_1 f_{lc}}{f'_{co}} \\
\varepsilon_{85} &= 260 \rho \varepsilon_1 + \varepsilon_{o85} && ; \rho = \frac{\sum A_s}{s(b_{cx} + b_{cy})} ; \varepsilon_{o85} \approx 0.0038 \\
\varepsilon_{20} &= \varepsilon_1 - \frac{0.80}{Z_1} && ; Z_1 = -\frac{0.15}{(\varepsilon_{85} - \varepsilon_1)} \quad (2.55)
\end{aligned}$$

หมายเหตุ : ความหมายของเทอมต่างๆ ข้างต้นนิยามไว้ในหน้าสัญลักษณ์

1.1.2 หน่วยแรงและแรงดึงของคอนกรีต

$$\text{หน่วยแรงดึง } f_c = E_c \cdot \varepsilon \quad \varepsilon_r \leq \varepsilon \leq 0 \quad (2.56)$$

จากสมมุติฐานที่กำหนดให้ค่าโมดูลัสยืดหยุ่นของหน่วยแรงดึงเท่ากับหน่วยแรงอัด และให้คอนกรีตสามารถรับแรงดึงได้ไม่เกินหน่วยแรงดึงที่ยอมให้ของคอนกรีตตาม ACI Committee 318 ซึ่งมีค่าเท่ากับ $f_r = 1.98 \sqrt{f'_c}$

ดังนั้นความเครียดสูงสุดที่ยอมให้ของคอนกรีตเนื่องจากแรงดึง มีค่าเท่ากับ $\varepsilon_r = -\frac{f_r}{E_c}$

จากหน่วยแรงดึงข้างต้น สามารถเขียนเป็นสมการของแรงดึงของคอนกรีต ดังนี้

$$\begin{aligned}
C_t &= -\frac{b \cdot E_c \cdot \varepsilon_t^2}{2\phi} && \varepsilon_r \leq \varepsilon_t \leq 0 \\
&= 0 && \varepsilon_t \leq \varepsilon_r \quad (2.57)
\end{aligned}$$

$$\phi = \frac{c_c}{kd} \quad (2.58)$$

โดยที่ ϵ_c คือ ความเครียดที่มีไว้รับแรงอัดของคอนกรีต

ϵ_t คือ ความเครียดที่มีไว้รับแรงดึงของคอนกรีต

1.2 แรงภายในเนื่องจากเหล็กเสริม

ความสัมพันธ์ระหว่างแรงและความเครียดของเหล็กเสริมเป็นแบบอิลาสติก-พลาสติคสมบูรณ์ กำหนดให้

1.2.1 หน่วยแรงและแรงอัดของเหล็กเสริม

$$\begin{aligned} \text{หน่วยแรงอัด } f_s &= E_s \cdot \epsilon_s & 0 \leq \epsilon_s \leq \epsilon_y \\ f_s &= f_y & \epsilon_s \geq \epsilon_y \end{aligned} \quad (2.59)$$

จากหน่วยแรงข้างต้น สามารถเขียนเป็นสมการของแรงอัดของเหล็กเสริม ดังนี้

$$\begin{aligned} S_c &= A_{sc} \cdot E_s \cdot \epsilon_s & 0 \leq \epsilon_s \leq \epsilon_y \\ S_c &= A_{sc} \cdot f_y & \epsilon_s \geq \epsilon_y \end{aligned} \quad (2.60)$$

โดยที่ ϵ_s คือ ความเครียดของเหล็กเสริม

ϵ_y คือ ความเครียดคดากของเหล็กเสริม

A_{sc} คือ พื้นที่หน้าตัดของเหล็กเสริมรับแรงอัด

2.2.2 หน่วยแรงและแรงดึงของเหล็กเสริม

หน่วยแรงดึง

$$\begin{aligned} f_s &= -E_s \cdot \epsilon_s & -\epsilon_y \leq \epsilon_s \leq 0 \\ f_s &= -f_y & \epsilon_s \leq -\epsilon_y \end{aligned} \quad (2.61)$$

จากหน่วยแรงข้างต้น สามารถเขียนเป็นสมการของแรงดึงของเหล็กเสริม ดังนี้

$$\begin{aligned} S_t &= A_{st} \cdot E_s \cdot \epsilon_s & -\epsilon_y \leq \epsilon_s \leq 0 \\ S_t &= A_{st} \cdot f_y & -\epsilon_y \geq \epsilon_s \end{aligned} \quad (2.62)$$

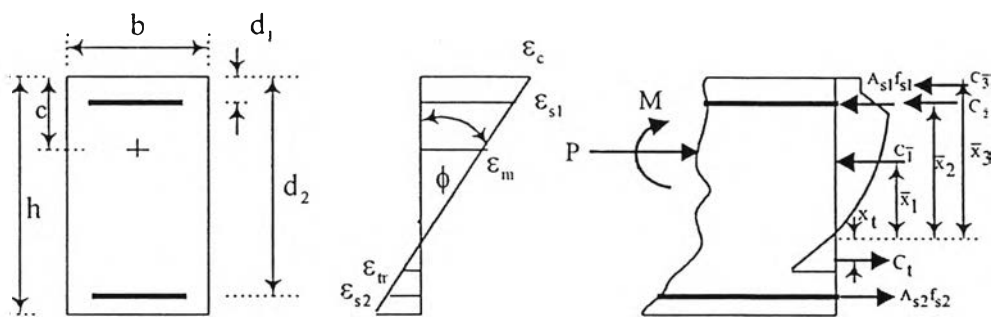
A_{st} คือ พื้นที่หน้าตัดของเหล็กเสริมรับแรงดึง

สมการสมดุลของแรงภายในเนื่องจากวัสดุและแรงในแนวแกน มีดังนี้

$$C_c + C_t + S_c + S_t + P = 0 \quad (2.63)$$

คำนวณโมเมนต์จากแรงภายในที่สมดุล ที่ตำแหน่ง $h/2$ โดยมีสมมุติฐานว่าแรงในแนวแกนบนหน้าตัดกระทำผ่านตำแหน่ง $h/2$ เพื่อเปรียบเทียบกับโมเมนต์ดัดที่ได้จากการวิเคราะห์โครงสร้าง

ถ้าโมเมนต์ที่ได้จากการคำนวณนี้มีค่าต่างจากโมเมนต์ที่ได้จากการวิเคราะห์อยู่ในเกณฑ์ที่ยอมรับได้ให้ทำในขั้นตอนต่อไป ถ้าไม่ได้ต้องเริ่มขั้นตอนใหม่โดยปรับค่าความเครียดที่ผิวบนสุด



รูปที่ 2.12 การกระจายความเครียด-การกระจายหน่วยแรงของหน้าตัดคอนกรีตเสริมเหล็ก

2. ปรับปรุงสตีฟเนสหลังจากหน้าตัดเกิดการแตกร้าว เมื่อหน่วยแรงบนหน้าตัดมีค่าเกินหน่วยแรงดึงที่ยอมให้ของคอนกรีต ทำให้หน้าตัดเกิดการแตกร้าวซึ่งเป็นผลให้เกิดการเปลี่ยน-

แปลงสติเฟเนส โดยอาศัยหลักการของผลต่างสี่บเนื่องตรงกลาง(Central difference)คำนวณค่า สติเฟเนสสัมพัทธ์เนื่องจากแรงในแนวแกน และสติเฟเนสสัมพัทธ์เนื่องจากโมเมนต์ดัด ตามลำดับ ดังนี้

$$EA = \Delta P / \Delta \epsilon = (P_2 - P_1) / \Delta \epsilon \quad (2.64)$$

$$EI = \Delta M / \Delta \phi = (M_2 - M_1) / \Delta \phi \quad (2.65)$$

โดยที่ P_1 และ P_2 คือ แรงในแนวแกนที่สอดคล้องกับความเครียด $[\epsilon_m - (1/2)\Delta\epsilon]$ และ $[\epsilon_m + (1/2)\Delta\epsilon]$

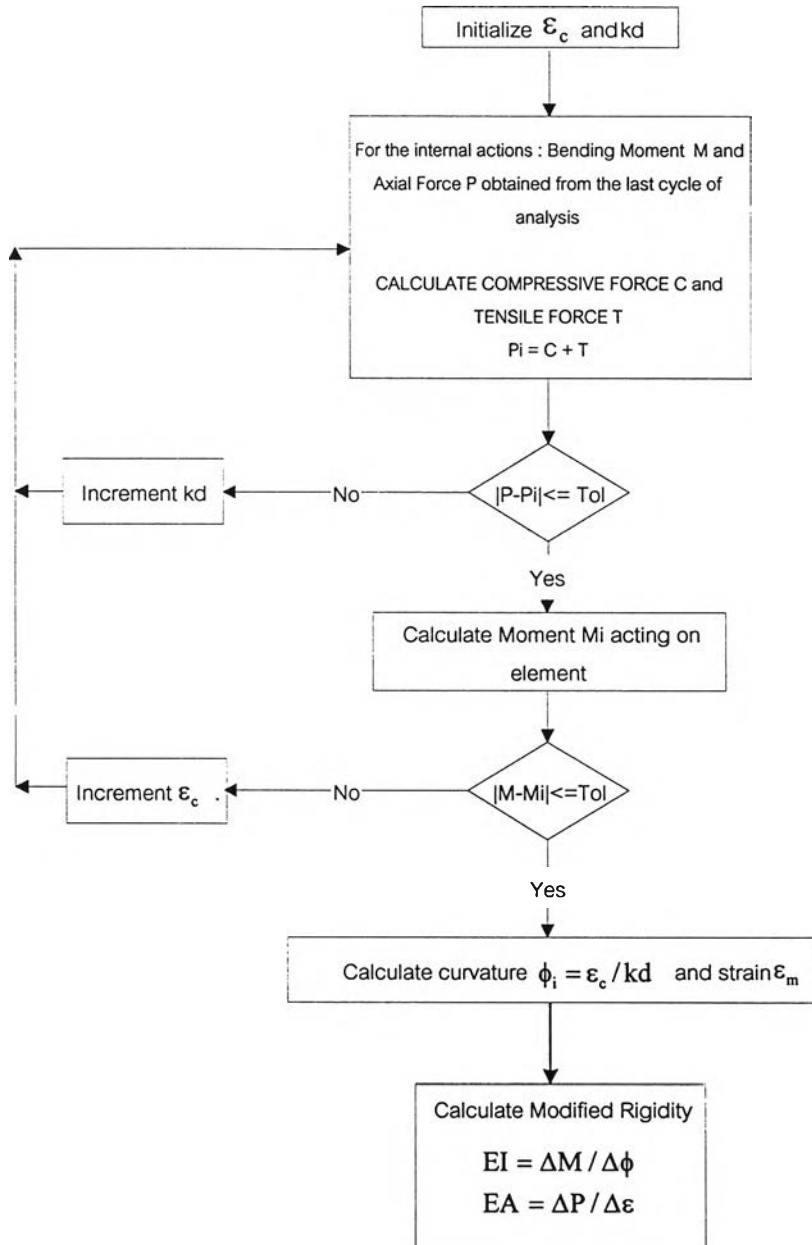
ϵ_m คือ ความเครียดเนื่องจากแรงในแนวแกน ที่ตำแหน่งศูนย์กลางพลาสติก

$\Delta\epsilon$ คือ ผลต่างของความเครียดโดยกำหนดให้มีค่าน้อยๆเช่น 1×10^{-6}

M_1 และ M_2 คือ โมเมนต์ดัดที่สอดคล้องกับค่าความโค้ง $[\phi - (1/2)\Delta\phi]$ และ $[\phi + (1/2)\Delta\phi]$ ขณะที่ แรงในแนวแกน มีค่าคงที่

ϕ คือ ค่าความโค้งเนื่องจากโมเมนต์ดัด

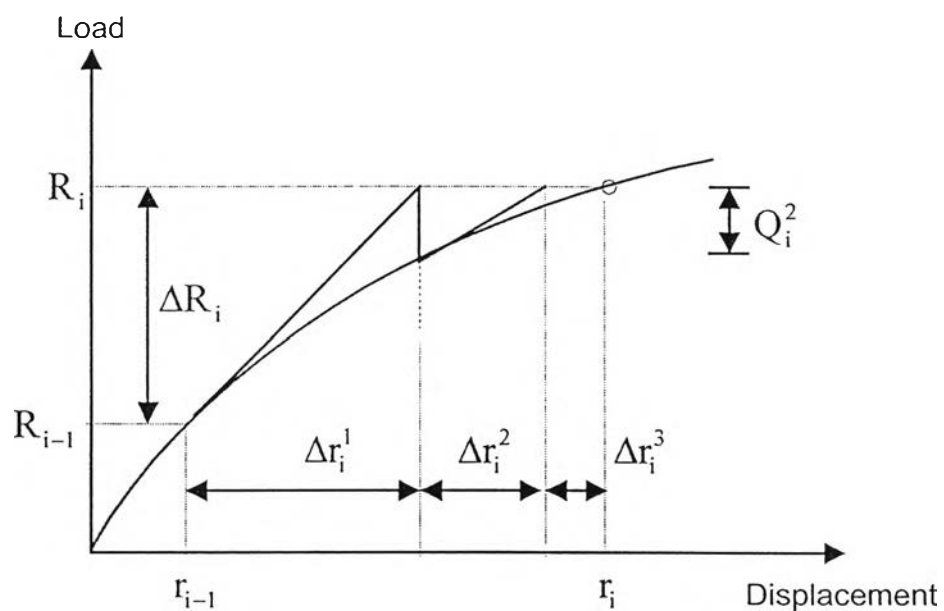
$\Delta\phi$ คือ ผลต่างของค่าความโค้งโดยกำหนดให้มีค่าน้อยๆเช่น 1×10^{-6}



รูปที่ 2.13 แผนผังแสดงขั้นตอนการวิเคราะห์ความไม่เป็นเชิงเส้นทางวัสดุโดยวิธีวิเคราะห์หน้าตัด

สรุปขั้นตอนการวิเคราะห์หอนิลาสติกอันดับที่สองของโครงข้อแข็งคอนกรีตเสริมเหล็กโดยคำนึงถึงผลของการไอบรัด

การวิเคราะห์หอนิลาสติกอันดับสองกระทำโดยการรวมขั้นตอนการวิเคราะห์หน้าตัดและการวิเคราะห์หอนิลาสติกอันดับสองโดยมีการปรับปรุงสติฟเนสเนื่องจากการแตกร้าวของคอนกรีต ไปพร้อมๆกัน ขั้นตอนการวิเคราะห์หอนี้ดังนี้



รูปที่ 2.14 การวิเคราะห์หอนอันดับที่สอง(Chen and Lui , 1991)

1. ที่ขั้นตอนใดๆที่ตัวประกอบนำหน้าก็มีค่าเป็น R_{i-1} หาแรงภายในของชิ้นส่วนทุกชิ้นส่วนที่ละชิ้นส่วน
2. นำผลของแรงภายในที่ได้ไปปรับปรุงค่าสติฟเนสของชิ้นส่วนตามลำดับ
3. ทำการสร้างเมตริกซ์สติฟเนสของโครงสร้างโดยวิธีการรวมสติฟเนสโดยตรง

4. เพิ่มน้ำหนักบรรทุกเป็น R_i
5. ทำการวิเคราะห์โดยการกำจัดแบบเกาส์ เพื่อหาการกระจัดและแรงภายใน แล้วหาผลต่างระหว่างแรงภายในชั้นตอนที่ $i-1$ และชั้นตอนที่ i จะได้เวกเตอร์ของแรงคงค้างในการทำซ้ำรอบแรก
6. คำนวณค่ายูคลิเดียนนอร์มของเวกเตอร์ของแรงคงค้าง (Unbalanced force vector) โดยคำนวณได้จากสมการ (Bathe and Wilson, 1976)

$$\|Q\|_e = \sqrt{\sum_{i=1}^n q_i^2} \quad (2.66)$$

เมื่อ $\|Q\|_e$ = ยูคลิเดียนนอร์มของเวกเตอร์ของแรงคงค้าง $\{Q\}$
 q_i = สมาชิกของเวกเตอร์ของแรงคงค้าง $\{Q\}$
 n = จำนวนของระดับชั้นความเสรี

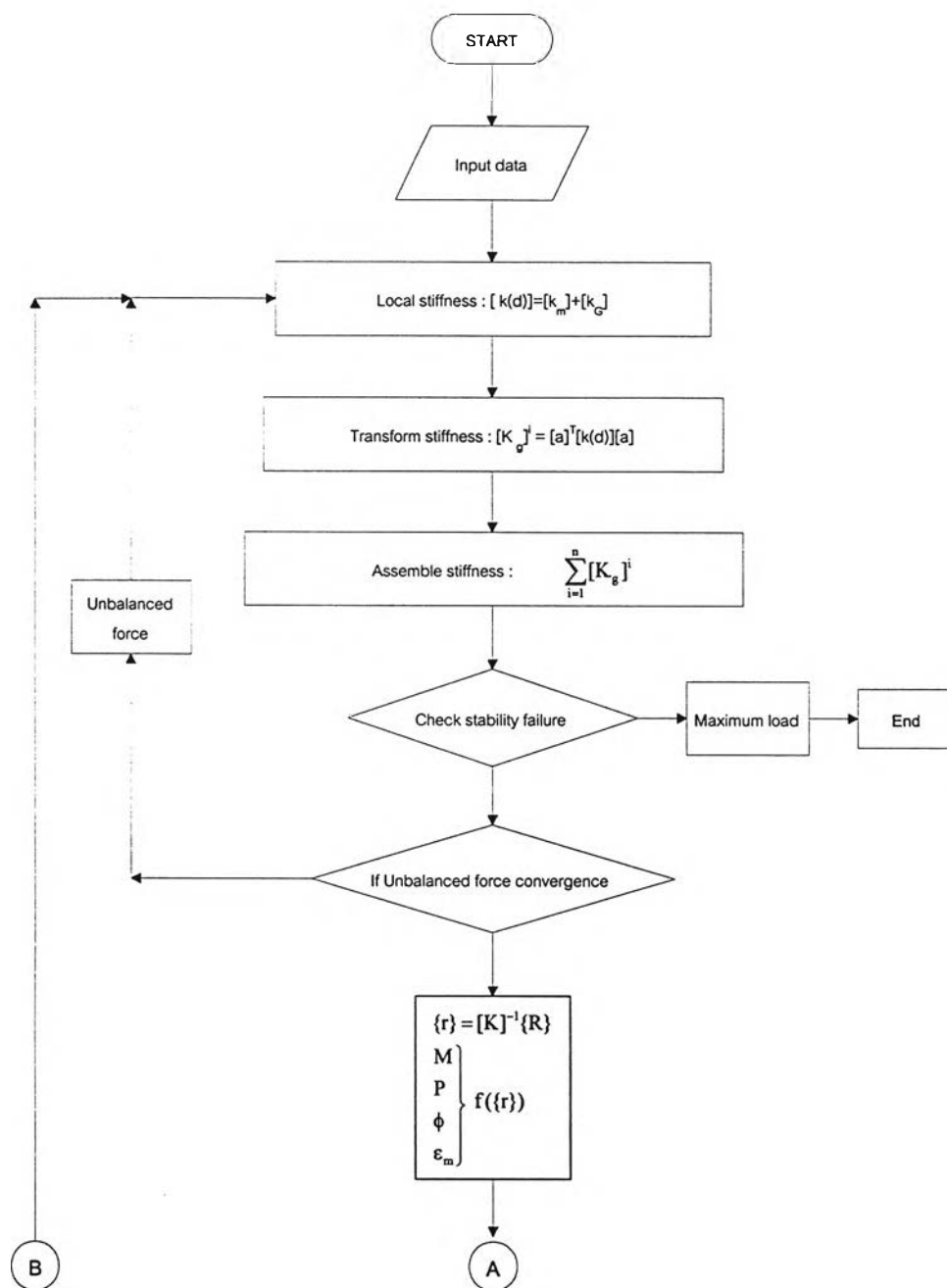
7. เปรียบเทียบค่ายูคลิเดียนนอร์มของแรงคงค้าง กับยูคลิเดียนนอร์มของแรงเริ่มต้นโดยงานวิจัยนี้ใช้เงื่อนไขการลู่ออกเข้าหาคำตอบดังนี้ (Zienkiewicz and Taylor, 1991)

$$\|Q\|_e \leq \frac{0.1}{100} \|\Delta R\|_e \quad (2.67)$$

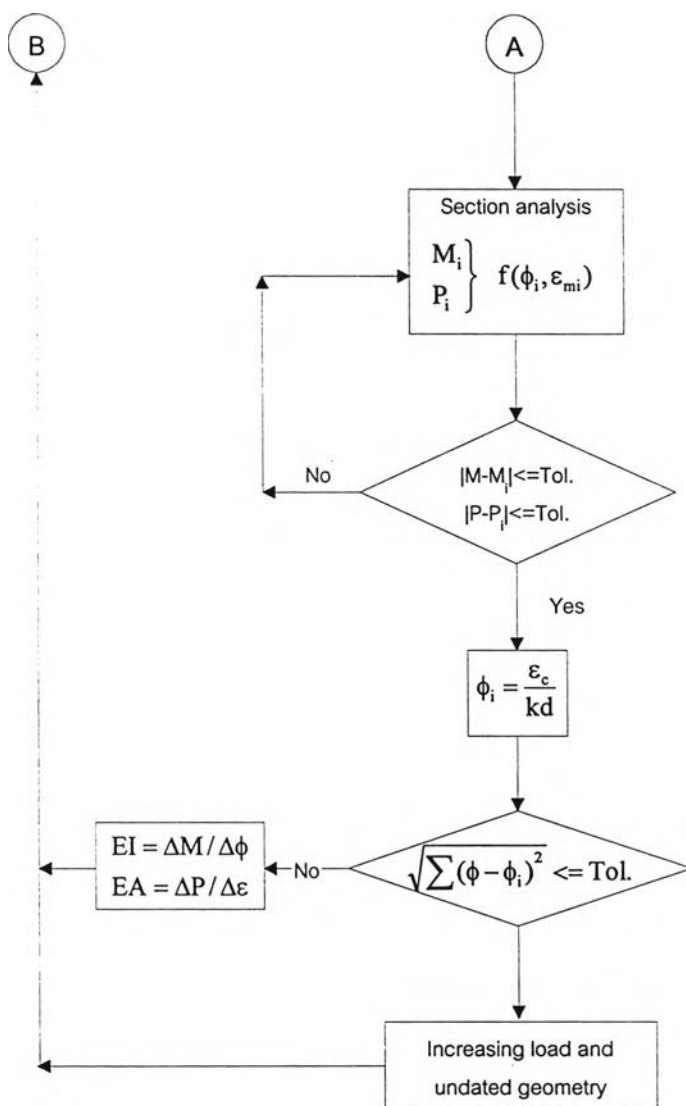
หากค่ายูคลิเดียนนอร์มของแรงคงค้างเป็นไปตามเงื่อนไขสมการ (2.67) ก็จะทำใน ชั้นตอนที่ 8 ต่อไป แต่ถ้าหากค่ายูคลิเดียนนอร์มไม่เป็นไปตามเงื่อนไขสมการ(2.67) จะต้องกระทำในชั้นตอนที่ 1 ถึง 7 ใหม่โดยให้เวกเตอร์ของแรงกระทำคือเวกเตอร์ของแรงคงค้าง

8. จากวิธีการวิเคราะห์หน้าตัด คำนวณหาค่าความโค้ง(Curvature)ในแต่ละหน้าตัด ที่ทำให้ค่าแรงในแนวแกนและโมเมนต์สอดคล้องกับค่าที่ได้จากการวิเคราะห์หินอิลาสติกอันดับสอง แล้วเปรียบเทียบกับค่าความโค้งที่ได้กับรอบการคำนวณที่แล้ว ถ้าเท่ากันก็ทำในชั้นตอนที่ 9 ต่อไป แต่ถ้าไม่เท่ากันจะต้องปรับปรุงค่าสตีเฟนสทางแนวแกนและค่าสตีเฟนสทางแรงดัดใหม่ ดังสมการที่(2.64) และ (2.65) ตามลำดับ จากนั้นกลับไปทำชั้นตอนที่ 1 ถึง 8 ใหม่

9. คำนวณหาตำแหน่งจุดต่อที่เปลี่ยนไปของโครงสร้าง เพื่อเป็นตำแหน่งอ้างอิงทางเรขาคณิตของโครงสร้างใหม่ แล้วทำการเพิ่มน้ำหนักบรรทุกเป็น R_{i+1} เป็นขั้นตอนถัดไป
10. หลังจากทำการกำจัดแบบเกาส์ของส่วนเมตริกซ์สติฟเนสของโครงสร้างแต่ละครั้ง จะต้องทำการตรวจสอบเสถียรภาพของโครงสร้างด้วย โดยการตรวจสอบค่าของสมาชิกแต่ละตัวตามแนวทะแยง(Diagonal elements)ของเมตริกซ์สติฟเนสของโครงสร้าง ถ้าโครงสร้างมีเสถียรภาพแล้ว ค่าของสมาชิกตามแนวทะแยงของเมตริกซ์สติฟเนสทุกตัวจะมีค่ามากกว่าศูนย์ แต่ถ้าหากสมาชิกตามแนวทะแยงของเมตริกซ์สติฟเนสตัวใดตัวหนึ่งหรือหลายตัวมีค่าน้อยกว่าหรือเท่ากับศูนย์แล้ว โครงสร้างนี้จะมีการเคลื่อนที่แบบวัตถุแข็งเกร็ง (Rigid body motion) เสถียรภาพของโครงสร้างก็จะหมดไป



รูปที่ 2.15 แผนภูมิสายงานของการวิเคราะห์ในงานวิจัยนี้



รูปที่ 2.15(ต่อ) แผนภูมิสายงานของการวิเคราะห์หิโนงานวิจัยนี้